

Screened Poisson Surface Reconstruction

Jean Feydy

École Normale Supérieure

23 mars 2015



Kazhdan, M., Bolitho, M., and Hoppe, H. (2006).

Poisson surface reconstruction.

In Proceedings of the fourth Eurographics symposium on Geometry processing, volume 7.



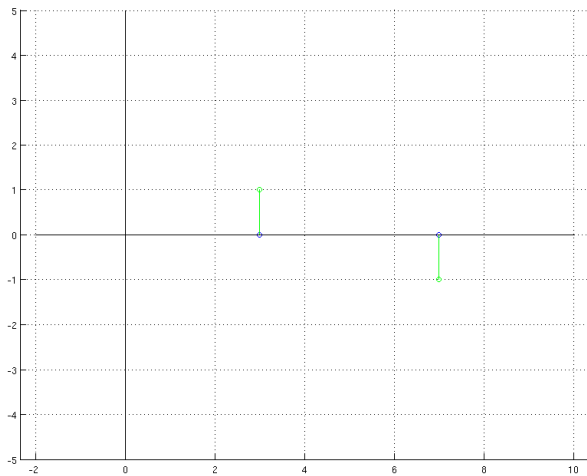
Kazhdan, M. and Hoppe, H. (2013).

Screened poisson surface reconstruction.

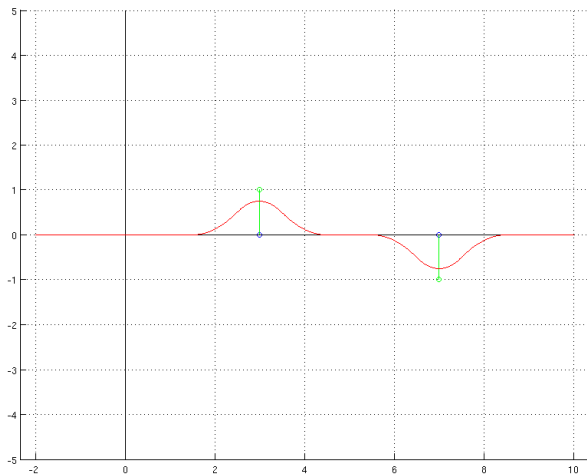
ACM Transactions on Graphics (TOG), 32(3) :29.

Présentation de la méthode de Poisson échantillée

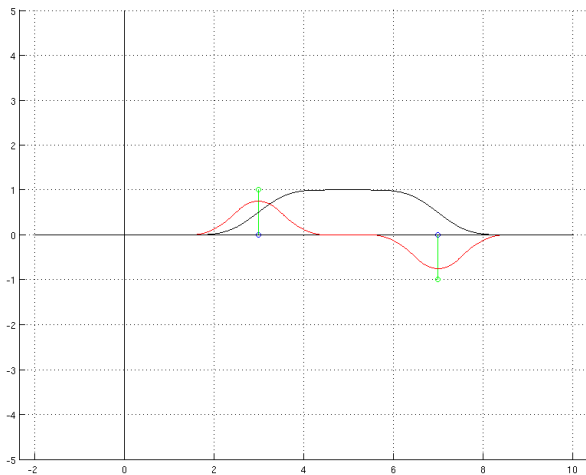
P, N_p



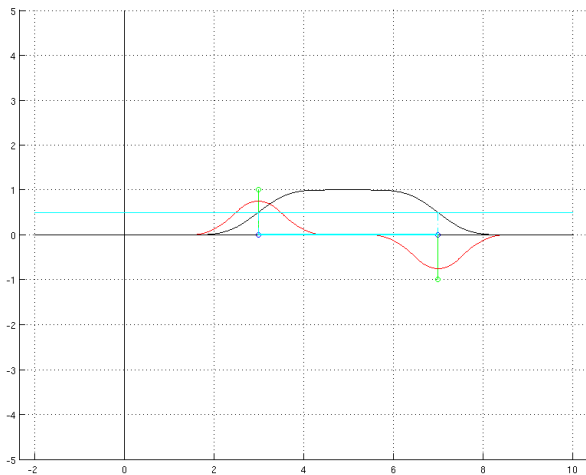
$$P, N_p, V = N_p \star F$$



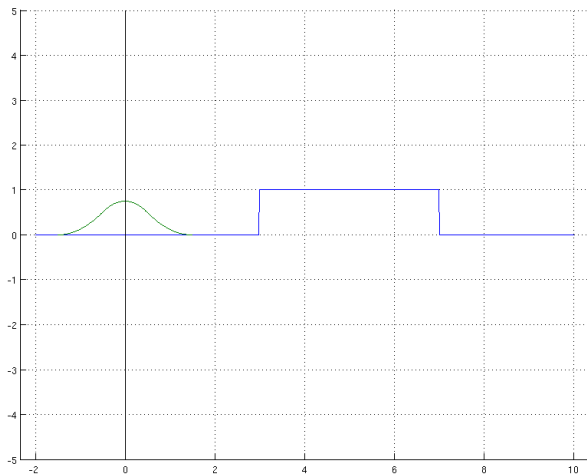
$$P, N_p, V = N_p \star F, \chi = \int V,$$



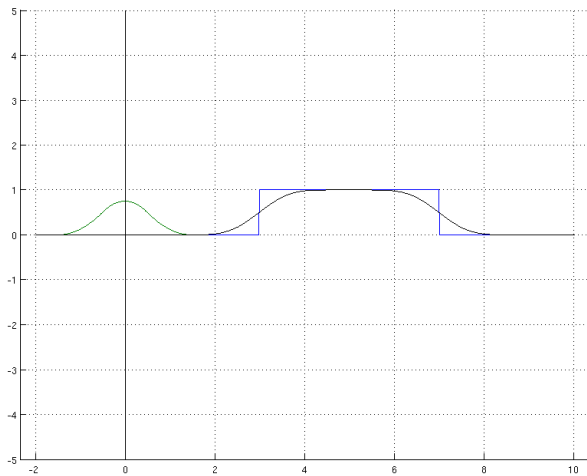
$$P, N_p, V = N_p \star F, \chi = \int V, \{\chi \geq 1/2\}$$



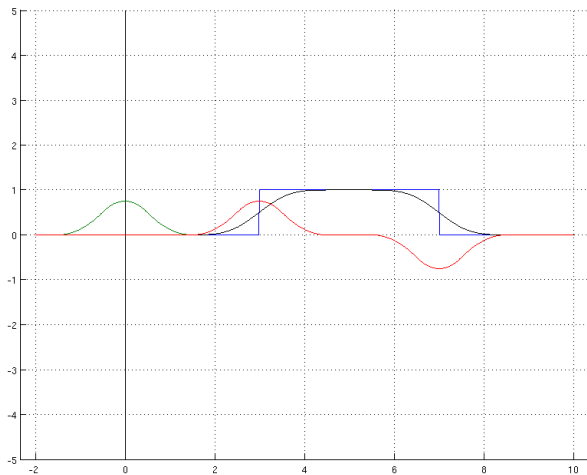
$\mathbb{1}_V, F$



$\mathbb{1}_V, F, \mathbb{1}_V \star F$



$$\mathbb{1}_V, F, \mathbb{1}_V \star F, (\mathbb{1}_V \star F)' = \mathbb{1}'_V \star F$$



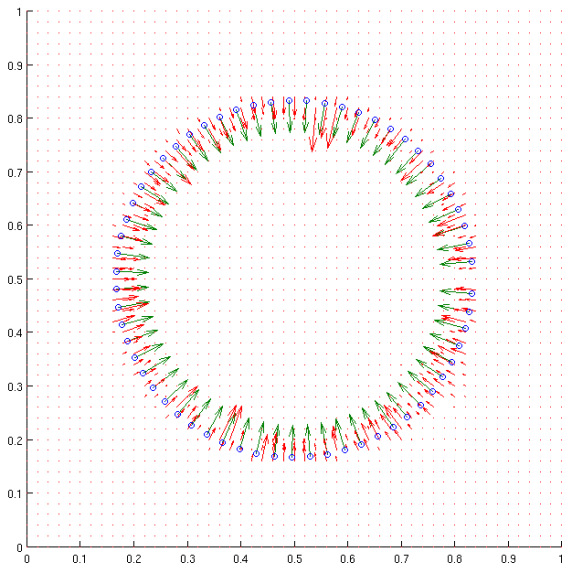
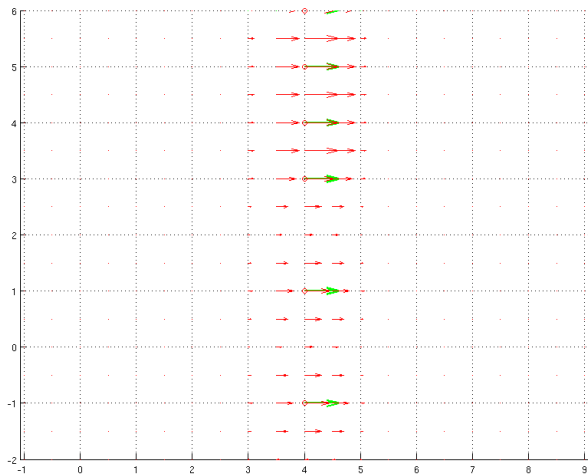
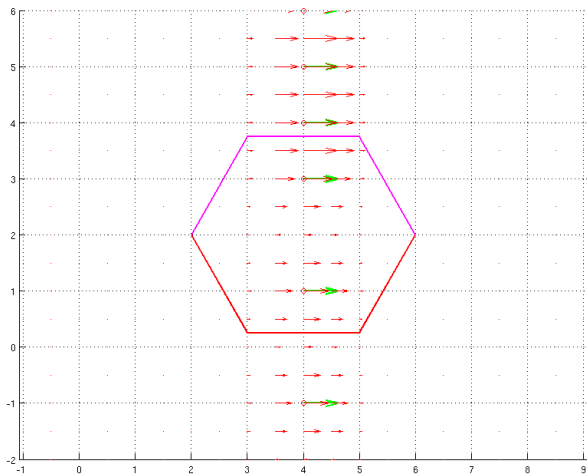


FIGURE: \vec{V} interpolé à partir d'un cercle.

En dimension supérieure à 1, problème :



En dimension supérieure à 1, problème : $\int \vec{V} \cdot d\vec{l} \neq \int \vec{V} \cdot d\vec{l}$

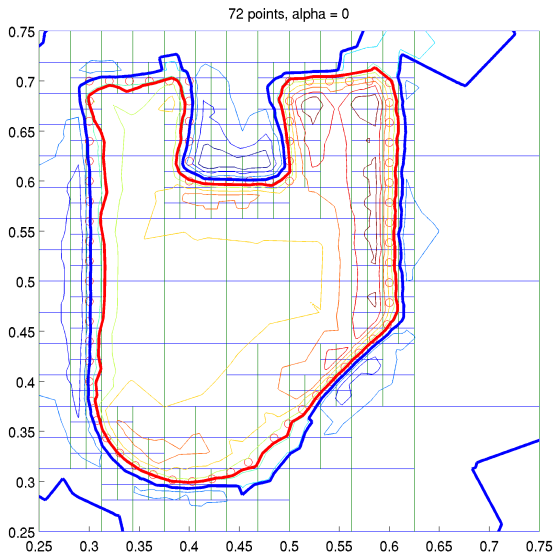


On cherche χ qui minimise

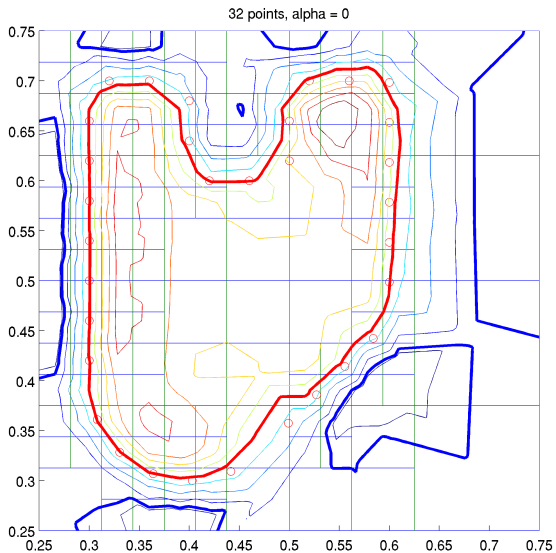
$$E_{\vec{V}}(\chi) = \int \left\| \nabla \chi(\rho) - \vec{V}(\rho) \right\|^2 d\rho. \quad (1)$$

C'est la méthode de Poisson, simple, globale et robuste.

La fonction χ dérive : on prend $\{\chi \geq \frac{1}{|P|} \sum_{p \in P} \chi(p)\}$ et non $\{\chi \geq 1/2\}$



Même ainsi, la reconstruction est trop lisse.



On souhaite ajouter un terme d'attache aux données – en remplaçant χ par $\chi - 1/2$:

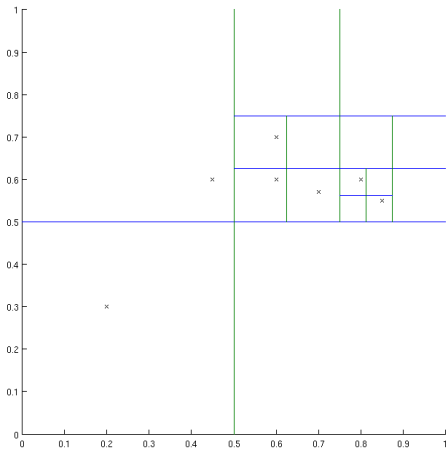
$$E_P(\chi) = \frac{\text{Aire}(P)}{|P|} \sum_{p \in P} \chi^2(p) \quad (2)$$

On minimise alors

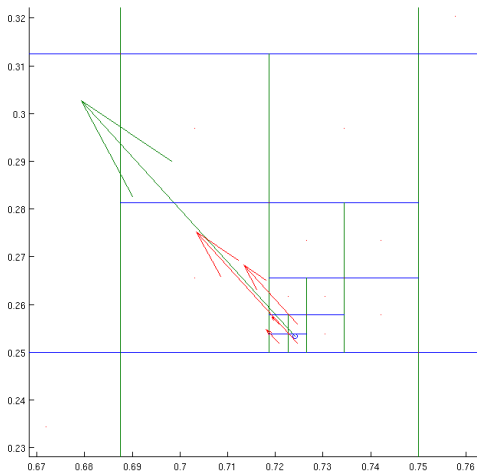
$$E(\chi) = E_{\tilde{V}}(\chi) + \alpha E_P(\chi) \quad (3)$$

Détails de l'implémentation

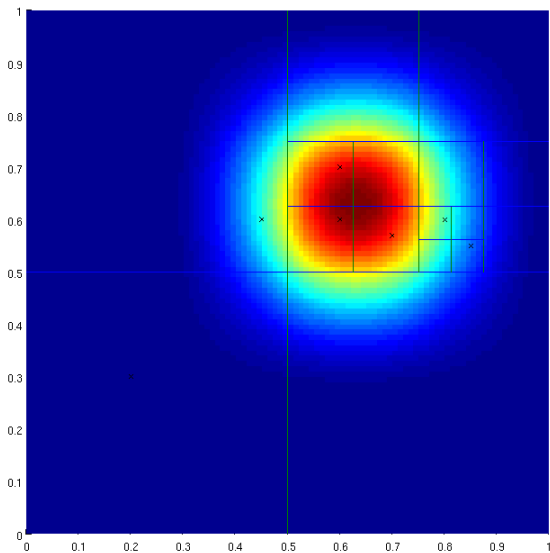
Utilisation d'un Quadtree - Octree



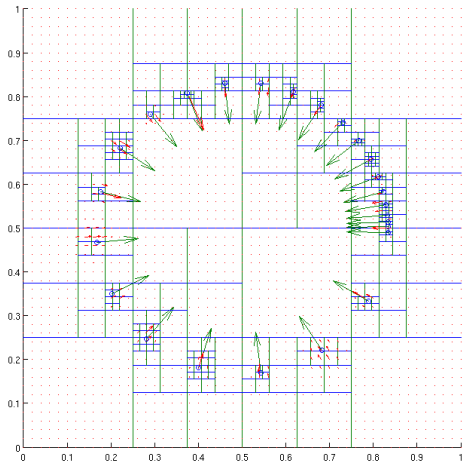
Pour simplifier les calculs, on "diffuse" un point sur ses 4 voisins.



On utilise les fonction nodales F_n

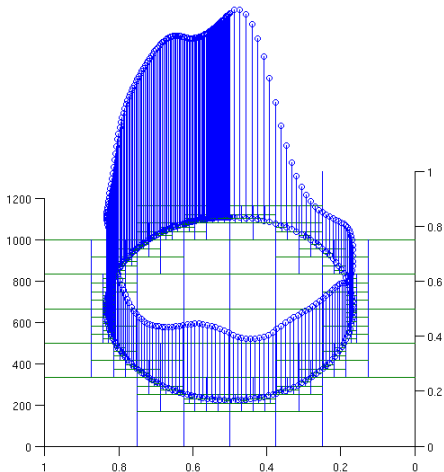


Une diffusion uniforme donne de mauvais résultats.



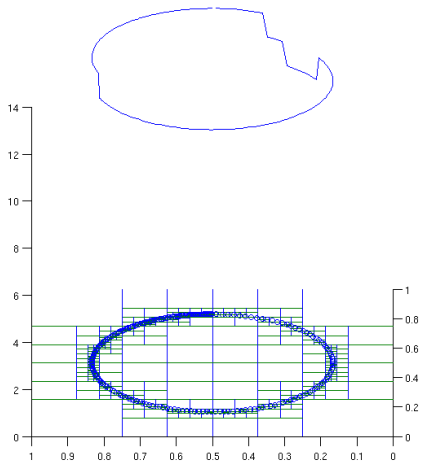
$$W_{\bar{D}}(q) = \sum_{p \in P} \sum_{n \in \text{Vois}_{\bar{D}}(p)} \alpha_{n,p} F_n(q) \quad (4)$$

$$\simeq \sum_{p \in P} F_{2-\bar{D}}(q - p), \quad (5)$$

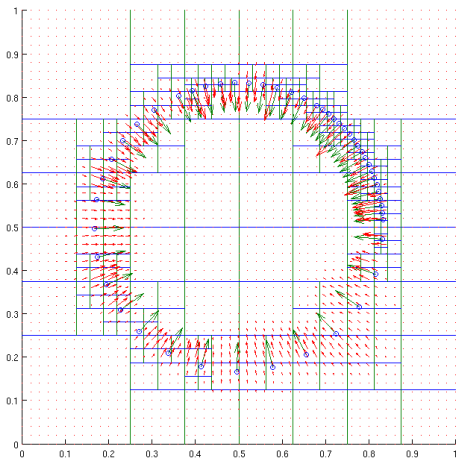


$$\text{Prof}(p) = \min(D, D + \log_4(W_{\tilde{D}}(p)/\overline{W_{\tilde{D}}}))$$

(6)



$$\vec{V}(q) = \sum_{p \in P} \frac{1}{W_{\check{D}}(p)} \sum_{n \in \text{Vois}_{\text{Prof}}(p)} \alpha_{n,p} F_n(q) \vec{N}_p \quad (7)$$



Calcul de χ par la méthode des éléments finis

$$E(\chi) = \langle \vec{V} - \nabla\chi, \vec{V} - \nabla\chi \rangle_{[0,1]^3} + \alpha \langle \chi, \chi \rangle_P \quad (8)$$

avec

$$\langle \vec{U}, \vec{V} \rangle_{[0,1]^3} = \iiint \langle \vec{U}(x), \vec{V}(x) \rangle dx, \quad (9)$$

$$\langle F, G \rangle_P = \frac{\text{Aire}(P)}{|P|} \sum_{p \in P} F(p)G(p). \quad (10)$$

On cherche χ sous la forme

$$\chi(p) = \sum_{n \in T} \lambda_n F_n(p) \quad (11)$$

$$E(\lambda) = \langle \vec{V} - \nabla \sum \lambda_n F_n, \vec{V} - \nabla \sum \lambda_n F_n \rangle_{[0,1]^3} \quad (12)$$

$$+ \alpha \cdot \langle \sum \lambda_n F_n, \sum \lambda_n F_n \rangle_P \quad (13)$$

$$= \lambda^T A \lambda - 2b^T \lambda + \langle \vec{V}, \vec{V} \rangle \quad (14)$$

avec

$$A_{i,j} = \langle \nabla F_i, \nabla F_j \rangle + \alpha \cdot \langle F_i, F_j \rangle_P, \quad (15)$$

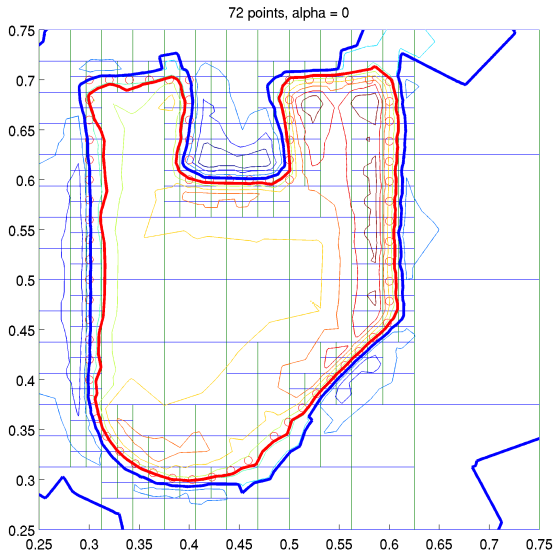
$$b_i = \langle \vec{V}, \nabla F_i \rangle. \quad (16)$$

À l'optimum, on a

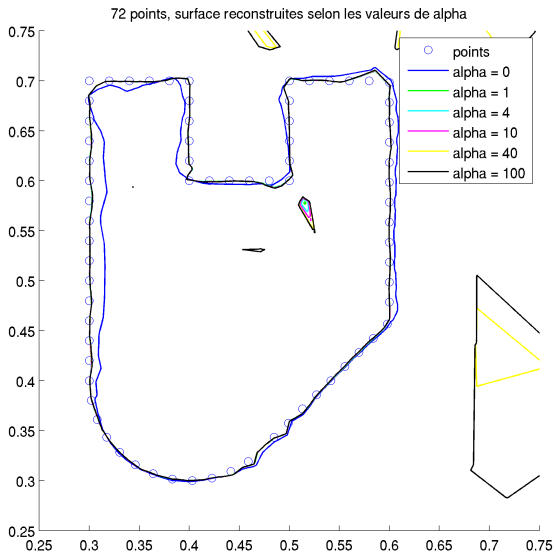
$$A \lambda = b \quad (17)$$

Résultats

Défaut de la méthode de Poisson : il se peut qu'aucune ligne ne soit pertinente, à cause de la dérive de χ



La méthode échantillonnée permet, elle, de résoudre ce problème



Tout en conservant une robustesse similaire à celle de la méthode de Poisson

